

# 물유리系 藥液固結土의 剪斷抵抗特性

The Characteristics of Shearing Resistance of Silicate-Grouted Soils

鄭 亨 植\*

Chung, Hyung-Sik

柳 在 逸\*\*

Ryu, Jae-Il

## Abstract

Chemical grouting is one of the ground-improvement methods for the purpose of cutting off water and increasing the strength of soil. It has been reported that the effect of strength increase of grouted soils is due to increase of cohesion.

In this study, the effect of cohesion on the shearing resistance of grouted soil was investigated through triaxial compression test.

According to the result of this research, it is found that the improved cohesion increases rapidly up to the maximum value at a small strain and subsequent decrease of cohesion is due to the breaking of grout chemical at a larger strain.

## 要 旨

藥液注入工法은 遮水 및 強度増大를 목적으로 하는 地盤改良工法의 하나로, 藥液注入에 의한 地盤의 強度増大效果는 점착력의 증대에 기인하는 것으로 보고 된 바 있다.

따라서 본 연구에서는 3축압축실험을 행하여 固結土의 점착력이 剪斷抵抗에 미치는 영향에 대해考察하였다.

본 연구결과로 약액에 의한 점착력은 적은 변형율에서 급격하게 증가하여 최대치에 도달하며 그 후 감소하는 것이 발견되었다. 그리고 큰 변형율에서의 점착력의 감소는 固結된 약액자체의 파괴와 관련된 것으로 사료된다.

필요성이 증대될 것이다.

약액주입공법은 유럽에서 개발<sup>1,2,3)</sup>되어 미국 특히, 일본에서 크게 발전되었으며, 國內에는 70년대에 도입되어 80년대에 들어와서 지하철공사 및 도심지에서의 기초굴착현장에 주로 적용되어 施工面에서는 어느 정도 성과가 있었으나, 학문적인 체계는 아직도 미흡한 상태에 있어 앞으로

## 1. 序 論

化學藥液에 의한 固結工法이 軟弱地盤의 安定化에 널리 이용되고 있으며, 앞으로 서·남해안 개발이 본격적으로 착수되면 연약지반처리문제가 대두될 것으로 예상되는데, 이에 본 공법의

\* 正會員, 漢陽大學校 工科大學 教授

\*\* 正會員, 漢陽大學校 大學院 博士課程

본 공법의 연구·개발에 주력해야 할 것으로 생각된다.

본 공법은 시간이 경과함에 따라 不透水性 Gel 을 형성하는 화학약액을 地盤內의 空隙에 充填·固結시킴으로서 地盤의 透水性을 감소시키거나 地盤의 強度를 增大시키는 데<sup>4,5,6)</sup> 주 목적이 있다. 따라서 構造物 築造時의 避水 및 基礎補強으로 지하철공사, Dam 공사, Tunnel 공사 등에서 널리 이용되고 있으며 다른 공법에 비해 工期가 짧고 시공장비가 소규모이고 소음·진동이 작아 복잡한 都心地나 인구밀집지역에서도 본 공법의 적용이 가능할 것이다.

본 공법에 의한 強度增大效果는 地盤土가 固結됨으로 인해 마찰성분보다는 주로 점착력성분의 증가에 좌우된다는 많은 연구보고<sup>7,8,9)</sup>가 있다.

따라서 본 연구에서는 排水三軸壓縮實驗結果에 의해 固結土의 剪斷變形에 따른 마찰성분과 점착력성분을 조사·검토하여 固結土의 剪斷抵抗을 지배하는 요소에 대해 고찰하고자 한다.

## 2. 固結化 機構

물유리系藥液의 固結化는 일반적으로 다음과 같은 2 단계로 이루어진다.

제 1 단계에서는 물유리용액이 重合하여 Colloid 粒子를 형성하고, 제 2 단계에서는 이 粒子들이 서로 集合·結合現象을 일으켜 덩어리를 만들어 물이 溶媒作用을 야기함으로서 固結化에 이르게 된다.

제 1 단계에서 물유리는 Sinanole 基(SiOH)가 脫水되어 重合하고, Sirokian bond[—Si—O—Si—]를 만들어서 粒狀의 1 次粒子로 성장하게 된다. 다음에 이를 1 次粒子 사이에 集合·結合作用이 거듭되어 Colloid 集合體를 형성한다. 이 집합체인 흙덩어리가 점점 그 범위를 넓혀 입자 서로가 견고하게結合·接合되어 3次元的 網狀의 固結體(固結土)를 형성하게 되어 비로소 地盤의 強度가 증대된다.

## 3. 實驗

### 3.1 試料土 및 사용藥液

본 연구를 위해 깨끗한 漢江砂를 체분석하여 (0.25~0.42 mm) 사용하였다.

사용약액은 물유리계 용액형으로 약액농도를 15%, 25%, 35%로 약액의 Gel time은 시료토와의 혼합공시체 제작이 가능하도록 하기 위해 4분으로 하였다.

약액의 配合示方例는 Table 1과 같으며 물유리水溶液과 硬化劑水溶液의 용적비합비는 1:1로 하였다.

Table 1 약액의 配合示方例

구 分	성분	약액농도(%)		
		15	25	35
물유리수용액	물유리 3호(cc)	60	100	140
	물 (cc)	140	100	60
경화제수용액	경화 주제 (g)	14	15	16
	경화 조제 (g)	10	9	8
	물 (cc)	190	191	192

### 3.2 공시체제작 및 양생

공시체제작은 P.V.C mold( $\phi 3.5\text{ cm} \times H 7.0\text{ cm}$ ) 내에 所定의 약액을 넣고나서 시료토를 mold에 넣고 조밀한 상태와 느슨한 상태로 구분하여 Table 2와 같은 相對密度로 하여 제작하였다. 이때 조밀한 공시체는 PVC 몰드 밑부분에 약액이 새지 않도록 접착테프로 붙이고 유리깔대기로 시료토 115 g을 3 층으로 구분하여 넣으면서 각 층 10회씩 철판에 2 cm 높이에서 몰드자체를 자유낙하시켜서 제작하였으며, 느슨한 공시체는 밑부분에 접착테프를 붙인 PVC 몰드에 유리깔대기로 시료토 100 g을 살살 넣어서 제작하였다.

Table 2 공시체 제작 조건

구분	상대밀도 (%)	공극비 (e)	접착력 ( $\text{kg}/\text{cm}^2$ )	내부마찰각 ( $^\circ$ )
느슨한	30	$0.85 \pm 0.02$	0	31.0
조밀한	80	$0.65 \pm 0.02$	0	36.0

양생조건은 地下水位아래의 상태를 재현시키기 위해서 水中養生方法으로 하였으며 水溫은 18~20°C로 하였다.

### 3.3 實驗方法

實驗方法은 응력제어 (Strain control) 방식의 압밀배수 3 축압축실험으로 하였다. 實驗중 변형속도는 0.5%/min로 하였고 구속응력은 0.5, 1.0, 1.5, 2.0 kg/cm<sup>2</sup>로 하였다.

## 4. 實驗 결과 및 분석

### 4.1 固結土의 強度經時變化

養生時間에 따른 강도증대는 Fig. 2에 나타난 바와 같이 養生 3日內에 주로 발휘됨을 알 수 있다.

그리고 양생시간이 경과되어 장기화 되어도 강도의 감소는 없는 것으로 보아 60日間의 強度經時變化에 의하면 본 연구에 사용한 약액고결토의 耐久性에 큰 문제는 없는 것으로 일단 추정된다.

Fig. 1은 약액농도 25%의 조밀한 경우로서 고결토의 강도가 양생 3일 동안에 급격한 증대를 보였으며 이는 60日間의 經時強度의 약 90% 정도로 나타났다.

따라서 본 연구에서는 양생 3일의 고결토(공시체)를 대상으로 배수 3 축압축실험을 하였다.

### 4.2 固結土의 응력-변형

#### 4.2.1 느슨한 고결토의 응력-변형

약액농도에 따른 응력-변형특성을 검토하기 위해 약액농도를 15%, 25%, 35%로 변화시켰

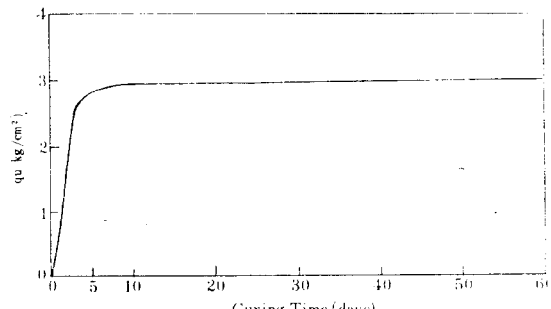


Fig. 1 Variation of unconfined compression ( $q_u$ ) with curing times for grouted soils

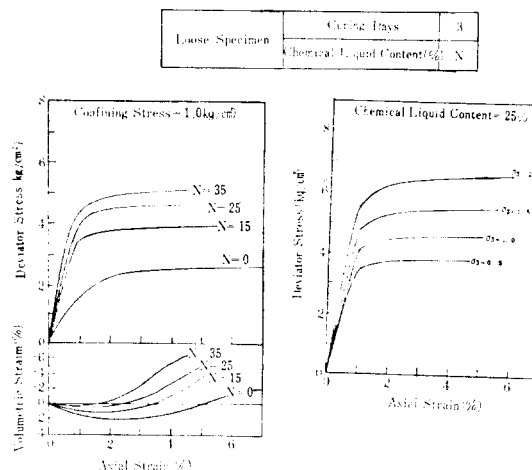


Fig. 2 Stress-strain curves for grouted loose specimens

으며 이의 관계는 Fig. 2에서와 같이 약액농도가 클수록 축차응력 ( $\sigma_1 - \sigma_3$ )은 커져서 강도증대 효과를 보였으며 피괴시의 축변형 ( $E_f$ )은 약액농도가 커짐에 따라 감소하는 경향을 보였다.

축차응력이  $\varepsilon_a = 1\%$  부근에서 경사가 급격한 변화를 하고 그 이후부터는 점점 둔화되는데, 이 변형에서부터 공극의 Gel이 부스러지는 것으로 생각되며 이때 체적변화도 증가단계로 들어가는 경향을 보였다.

구속응력의 변화에 대한 응력-변형곡선은 Fig. 2와 같이 구속응력이 커짐에 따라 고결토의 파

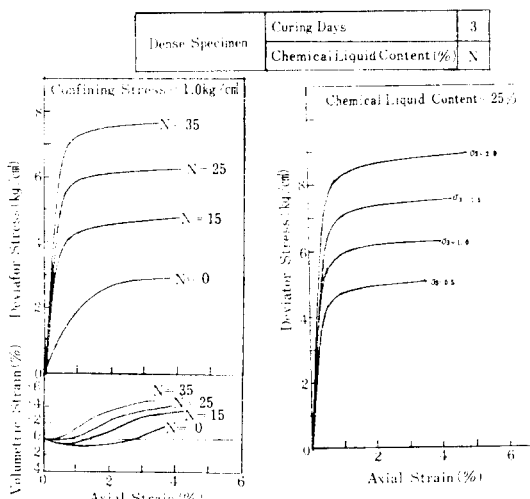


Fig. 3 Stress-strain curves for grouted dense specimens.

파괴 측차용력 및 측변형이 증가하는 경향으로 나타났다.

#### 4.2.2 조밀한 고결토의 응력-변형

느슨한 고결토에서와 같이 약액농도, 구속응력을 동일하게 변화시켜서 실험하였으며 응력-변형곡선은 Fig. 3과 같다.

그의 경향은 느슨한 고결토에서와 거의 유사하다.

파괴시의 측변형은 조밀한 경우가 느슨한 고결토에서 보다 작게 나타났다.

#### 4.3 접착력 및 내부마찰각의 변화

파괴시의 측변형( $E_f$ )보다 작은 변형레벨에서 발생된 응력으로 Mohr 원을 작성하여 이에 접하는 포락선을 작도하면 그 변형레벨에서 나타난 전단저항의 접착력성분과 마찰성분 즉,  $c$ 와  $\phi$ 를 알 수 있으며 이들을 각 변형레벨에서 구하면 측변형에 따른 구동된(Mobilized)  $c$ 와  $\phi$ 값을 나타낼 수 있다(Fig. 4 및 Fig. 5).

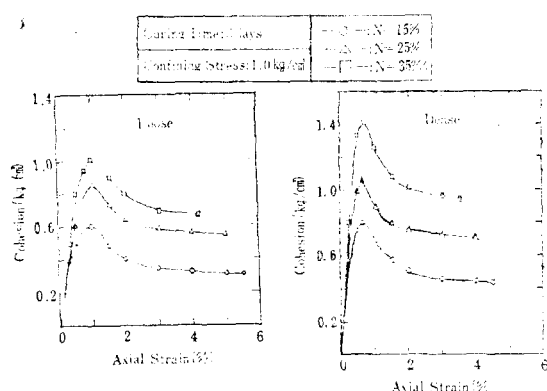


Fig. 4 Variation of cohesion with axial strain

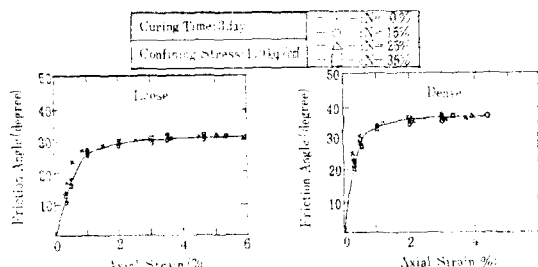


Fig. 5 Variation of friction angle with axial strain

측변형에 따른 접착력은 약액농도가 클수록 크게 되며, 파괴전의 작은 변형율에서 최대에 도달하여 그 후 빠르게 감소되어 파괴시의 측정된 값과 같이 된다. 변형에 따른 내부마찰각은 Fig. 5와 같이 측변형이 증가함에 따라 접착적으로 증가하여 파괴변형에서는 죄固結土의 값과 거의 비슷한 값에 도달된다.

### 5. 考 察

#### 5.1 固結土의 응력-변형특성

Fig. 2, 3의 응력-변형곡선에서 약액농도가 증가됨에 따라 측차용력 및 체적변화가 증대되고, 파괴변형( $Z_f$ )은 작아지는 경향을 보였다.

약액농도가 고결토의 강도에 미치는 영향은 약액농도가 커짐에 따라 약액중의 Silicate 함유량이 늘어나게 되므로 化學反應이 활발해지게 된다. 따라서 Silicate의 分子構造가 견고하게 되며 고결토의 접착력이 커지게 되어 결국 고결토의 강도가 증대된다.

剪斷應力이 土體에 작용하면 土粒子의 이동은 Interlocking이나 접착력에 의해 저지되는 경향<sup>11, 12)</sup>이 있다. 그러나 전단응력이 커짐에 따라 土粒子는 이동되어 입자구조가 느슨하게 됨으로써 체적이 팽창된다.<sup>13, 14)</sup> 그리고 응력-변형곡선에서 최대점이 나타나는데 이는 Interlocking이 극복되려 할 때 발생하는 체적팽창<sup>19, 20)</sup>과 Interlocking을 극복하려는 저항력에 기인된 것임을 알 수 있다. 따라서 약액농도가 클수록 약액자체의 접착력이 크게 되어 固結土粒子의 이동을 저지시키려는 저항성이 커지게 되므로 약액농도가 클수록 固結土의 파괴강도 및 체적변화가 커지게 되는 것으로 판단된다.

약액농도가 클수록 파괴변형이 작아지는 것은 Fig. 3에서와 같이 변형에 따른 고결토의 접착력이 작은 변형율에서 갑작스런 감소로 즉, 전단저항성이 갑자기 저하되기 때문으로 설명할 수 있으며 이러한 현상으로 固結土에서 취성적인 파괴경향이 나타나는 것으로 생각된다.

Mitchell<sup>15)</sup>은 구속응력이 증가할수록 토질상태에 관계없이 강도가 증가한다고 지적하였고, Krizek 등<sup>16)</sup>은 약액고결토의 강도는 구속응력이

클수록 강도는 증가되는데 그의 증가정도는 固結土에 함유된 Silicate量과 밀접한 관계가 있다고 보고한 바 있다. 본 연구에서도 구속용력이 클수록 약액농도에 의해 강도가 증가하는 것으로 Mitchell이나 Krizek의 연구결과와 같은 경향을 보였다.

구속용력은 固結土粒子의 이동을 저지시키는 요소로 작용하기 때문에 구속용력이 클수록 전단저항이 커지게 되어 강도가 증대되고 체적팽창성은 감소되며 아울러 점착력의 급격한 저하를 둔화시키려는 요소로 작용되기 때문에 파괴변形이 커지게 되는 것으로 생각된다.

## 5.2 고결토의 전단저항특성

剪斷強度는 점착력과 내부마찰각의 요소로 결정되는데, 약액고결토의 강도증대는 주로 점착력의 증가로 비롯되며 내부마찰각의 변화는 별 영향을 미치지 않는다는 많은 보고가 있다.

본 연구에서도 Fig. 3, 4에서와 같이 약액농도가 커짐에 따라 未固結土에 비해 점착력은 매우 증가된 반면에 내부마찰각의 변화는 거의 없는 것으로 나타나 약액에 의한 고결토의 강도증대는 주로 점착력의 증가에 의한 것임을 알 수 있다. 그런데 고결토의 전단저항에 점착력성분이 주 요소로 작용하는 가는 검토해 보아야 할 것이다.

Fig. 4에서 축변형에 따른 점착력( $C_s$ )은 파괴전의 작은 변형율에서 급격하게 증가한 직후 급감소하여 파괴변형에서 점착력( $C_s$ )이 작게 되는 경향을 보였다. 이는 파괴전의 작은 변형율에서 고결토의 공극의 약액이 부스러지기 때문에 점착력이 발휘되지 못하므로 즉, 약액 Gel 강도의 연속성이 저하되므로 점착력이 급감소되기 때문이다. 그 변형을 이후부터는 점착력성분이 감소되기 때문에 강도증대가 아주 완만하게 되는 것으로 판단된다.

전단저항의 마찰성분은 Fig. 5에서와 같이 축변형이 증가함에 따라 점차로 증가하여 未固結土의 값과 비슷한 경향을 보였다.

점착력과 마찰성분이 고결토의 전단저항에 미치는 영향은 변형에 따라 크게 변화됨을 알 수 있다. 즉, 작은 변형율에서는 점착력이 매우 중

요한 요소가 되며 큰 변형율에서는 마찰성분이 커져서 점착력성분과 같이 작용하는 것으로 생각된다.

Fig. 5에서  $C_s$ 의 최대치의 변형율까지는 고결토보다 未固結土의  $\phi$ 이 크게 나타나는 경향은  $C_s$ 의 최대치에 있는 축변형에서 고결토의 공극 Gel이 부스러지기 때문에 변형이 커짐에 따라 점점 점착력 성분이 줄어들게 되어 즉, 공극 Gel의 土粒子를 부드럽게 하는 성질이 점차 없어지므로 인해 土粒子間의 interlocking 현상이 크게 되어  $\phi$ 값이 커지게 되기 때문으로 판단된다.

작은 변형율에서의 Yielding 현상은 고결토의 空隙內의 약액의 거동 때문에 생기는 것으로 Yielding이 발생하는 축변형까지는 약액의 성질과 土粒子의 결합에 의해 지배되나, 전단응력이 증가함에 따라 약액의 성질이 변하게 되고 土粒子의 결합이 깨지는 현상<sup>[7, 18]</sup>이 나타나 점착력이 감소하게 되며 아울러 마찰력은 점점 크게 된다.

이상에서와 같이 약액에 의한 고결토의 점착력은 적은 변형율에서 급격하게 증가하여 최대치에 도달하여 그 후 감소하는데, 큰 변형율에서의 점착력의 감소는 고결된 약액자체의 파괴와 관련된 것임을 알 수 있다.

## 6. 結論

(1) 固結土의 양생기간에 따른 強度經時變化는 養生 3日內에 長期(60日)強度의 약 90%정도 發現된다.

(2) 약액농도가 클수록 固結土의 파괴시 축차용력과 체적변화는 증가하는 반면에 축변형은 감소된다.

(3) 固結土에서 剪斷抵抗의 점착력성분은 작은 변형율에서 최대치에 도달하여 그 후 빠르게 감소하나 파괴시의 剪斷強度에는 도움을 준다.

(4) 큰 변형율에서 고결토의 점착력의 감소는 고결된 약액자체의 파괴에 기인된 것으로 판단된다.

(5) 전단저항의 마찰성분은 축변형이 증가함에 따라 점차로 증가하는데, 작은 변형율에서는

未固結土が 약간 커으나 파괴변형에서는 거의 같은 경향을 보였다.

### 参考文献

1. Glossop, R. "The Invention and Development of injection process," Geotechnique, Vol. 11, 1961, pp. 255~279.
2. Karol, R.H. "Chemical Grouting technology," ASCE, Vol. 94, SM1, 1968, pp. 175~204.
3. 土質工學會 編集委員會, "薬液注入工法の 調査・設計から 施工まで", 土質工學會, 1985, pp. 4~9, 東京.
4. Warner, J. "Strength Properties of Chemically Solidified Soils," ASCE, Vol. 98, SM11, 1972, pp. 1163~1185.
5. Diefenthal D.C. etc., "Strength and Stiffness of Silicate Grouted Sand with Different Stress Histories," Geotechnical Testing Journal, Vol. 2, No. 4, 1979, pp. 200~205.
6. 森鱗外, "結合剤による土の 強度増大機構", 第3回 土質工學研究發表會講演集, 1968, pp. 175~179.
7. Krizek R.J. etc., "Effective Stress-Strain-Strength Behavior of Silicate-Grouted Sand," Pro. of Conference on Grouting in Geotechnical Engineering, ASCE, Vol. 1, 1982, pp. 482~497.
8. Krizek, R.J. "Mechanical Behavior of Chemically Grouted Sand," ASCE, Vol. 108, 1982.
9. 森鱗外, "固結した 土の 構造性 粘着力", 第3回 土質工學研究發表會 講演集, 1968, pp. 11~16.
10. Schmertmann, J. Osterberg, J. "An Experimental Study of the Development of Cohesion and Friction with Axial Strain in Saturated Cohesive Soils," Conference on Shear Strength of Cohesive Soils, ASCE, Boulder, Colorado, 1960, pp. 643~694.
11. Koerner, R.M. "Effective of Particle Characteristics on Soil Strength," ASCE, Vol. 96, SM4, 1970, pp. 1221~1233.
12. Lee, Kenneth L. "Drained Strength Characteristics of Sand," ASCE, Vol. 93, SM6, 1967, pp. 117~141.
13. Nasser, S.N. "On Behavior of Granular Materials in Simple Shear," ASCE, Vol. 20, SM3, 1980, pp. 59~73.
14. 春山元壽, "ミうのような 砂質土の イソクーロウ キソグについて", 第1回 土質工學研究發表會 講演集, 1966, pp. 139~143.
15. Mitchel, James K. "Fundamental of Soil Behavior," John Wiley & Sons, INC., 1976.
16. Krizek, R.J. Borden, R.H. "Creep Behavior of Silicate-Grouted Sand," Pro. of Conference on Grouting in Geotechnical Engineering, ASCE, Vol. 1, 1982, pp. 482~497.
17. Stetzler, B.U. "Mechanical Behavior of Silicate-Grouted Soils," Pro. of Conference on Grouting in Geotechnical Engineering, ASCE, Vol. 1, 1982, pp. 498~513.
18. 赤木實一外, "水がラス系の 薬液で 固結させた砂 の 非排水強度特性", 第19回 土質工學研究發表會 講演集, 1984, pp. 1603~1604.
19. 森鱗外, "水がラス薬液により 固結した 砂の 透水 係數と ダイレイタンシー について", 第20回 土質工學研究發表會 講演集, 1985, pp. 1669~1672.
20. 平野學外, "水がラス固結砂の 強度と 間隙充填率 について", 土木學會 第41回 年次學術講演會, 1986, pp. 187~188.

(접수일자 1988. 6. 14)